

05.2; 05.4

## ЭЛЕКТРОФИЗИЧЕСКИЕ ХАРАКТЕРИСТИКИ КОНТАКТА $Ag - YBa_2Cu_3O_{7-x}$ В ОБЛАСТИ ТЕМПЕРАТУР 20–800 °C

В.Г. Б е с с е р г е н е в, В.Я. Д и к о в с к и й

Для многих практических приложений высокотемпературных сверхпроводящих керамик важное значение имеют физические характеристики электрических контактов металл–керамика. В настоящее время наибольшее распространение получили электрические контакты, выполненные из благородных металлов [1, 2].

В данной работе изучались электрические характеристики серебряных контактов в интервале температур 20–800 °C. Исследовалась температурная и временная стабильность контакта, а также зависимость его токонесущей способности от величины и направления тока. Исследования проводились на образцах  $YBa_2Cu_3O_{7-x}$ , приготовленных по обычной керамической технологии. Используемые образцы были рентгеновски однофазны с температурой сверхпроводящего перехода  $T_c = 92.9$  К (температура обращения электросопротивления  $R$  в ноль) и шириной перехода  $\Delta T_c \approx 1$  К. Образцы имели форму параллелепипеда с размерами  $2 \times 2 \times 10$  мм<sup>3</sup>. Электрические контакты выполнялись из серебра высокой чистоты и цементировались серебряной пастой с последующим отжигом в течении трех часов при температуре  $\sim 800$  °C. В каждый образец было вмонтировано по четыре контакта. Площадь каждого контакта по оценкам составляла  $\approx 2$  мм<sup>2</sup>. В процессе измерений образцы подвешивались в печи и не касались ее стенок. Для изучения свойств контактов металл–керамика проводилось измерение электросопротивления образцов на постоянном токе как в четырехзондовой, так и в двухзондовой схемах. В последнем случае состояние контактов контролировалось по стабильности величины тока, задаваемого источником напряжения.

В процессе исследования было установлено, что при протекании тока электрические свойства контакта могут изменяться. Эти изменения сводятся к следующему. При длительном пропускании тока плотности  $\sim 5$  А/см<sup>2</sup> в одном направлении, проводимость контакта в этом направлении становится преимущественной. При перемене полярности тока его величина уменьшается на 2–3%. Это уменьшение, начиная с некоторого момента, сопровождается значительной нестабильностью, броски тока достигают 10% от первоначальной величины. На рис. 1 представлены записанные на самописец характеристические зависимости тока от времени (начало кривой соответствует моменту изменения полярности тока). Из полученных данных следует, что при протекании тока контактные области приобретают в некоторой степени свойства р-п переходов. Сопоставляя распределение потенциала между токовыми и потенциальными контактами

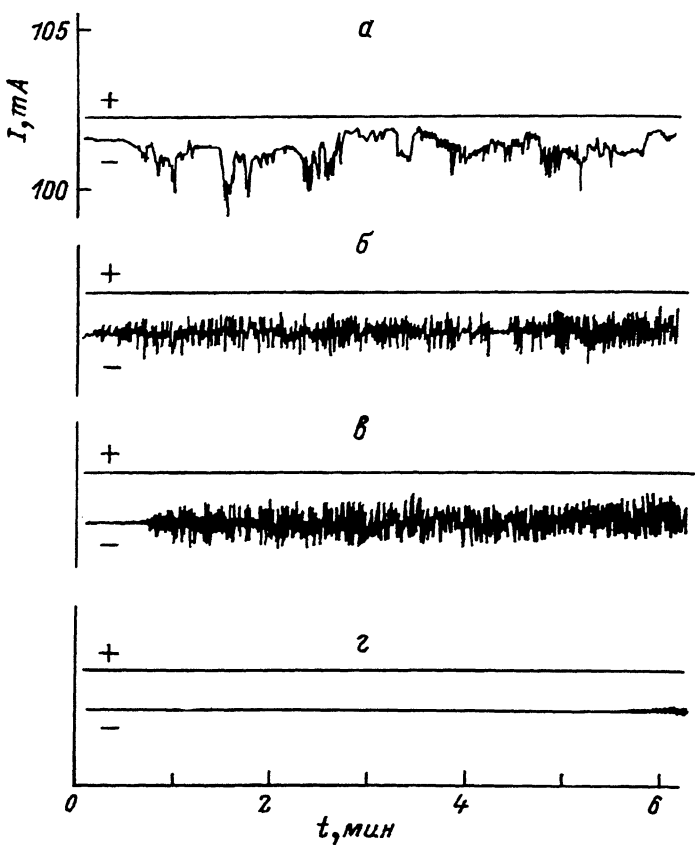


Рис. 1. Временные зависимости тока через образец, измеренные в двух направлениях при температурах: а -  $T = 20^\circ\text{C}$ ; б -  $T = 300^\circ\text{C}$ ; в -  $T = 500^\circ\text{C}$ ; г -  $T = 700^\circ\text{C}$ . На кривых а - постоянная и переменная составляющие тока. На кривых б, в, г - только переменные составляющие тока.

образцов, при пропускании тока мы установили, что описанные эффекты локализованы всегда вблизи положительного токового электрода. Именно в этой области происходит увеличение сопротивления образца для тока противоположной полярности. Характерно также, что после выключения тока и разрыва внешней цепи положительной токовый электрод сохранял относительно остальных контактов остаточный потенциал, достигающий 30 мВ. Величина этого напряжения сильно зависела от температуры. Между остальными электродами остаточное напряжение было существенно меньше и могло быть связано с термоэлектрическими эффектами.

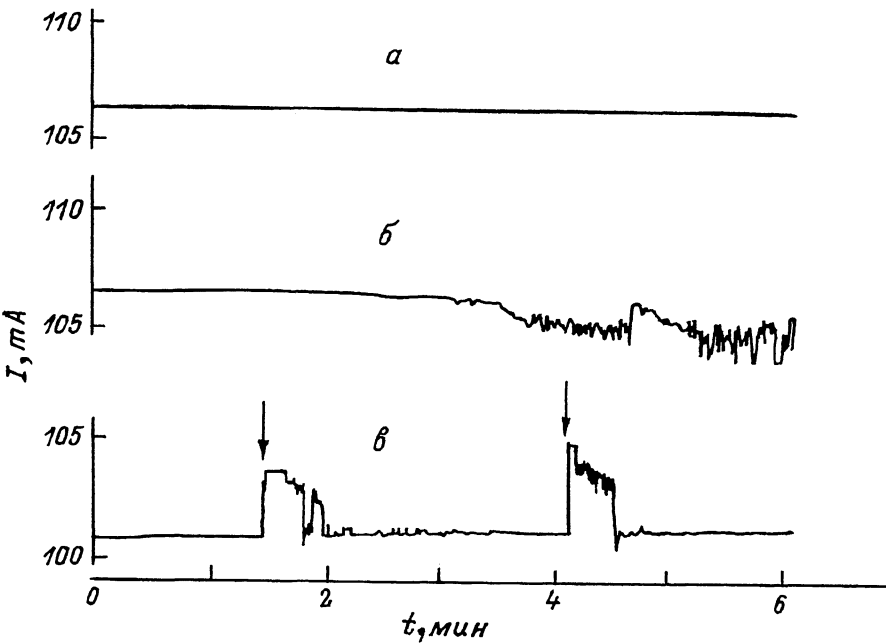


Рис. 2. Зависимость постоянного тока от времени при наличии воздействия импульсного напряжения на образец.

Наличие остаточного напряжения и увеличение сопротивления контакта может указывать на возникновение запорного слоя вблизи положительного электрода. Отметим, что описанные эффекты наблюдаются во всей исследованной температурной области, т.е. как в орторомбической, так и в тетрагональной кристаллической модификации образца. Характерной особенностью кривых, показанных на рис. 1, является также то, что нестабильность тока может возникать не сразу, а с запаздыванием. Время запаздывания варьируется в широких пределах и может достигать 5-10 минут.

По-видимому, существует несколько параметров, существенно влияющих на развитие нестабильности, таких например, как амплитуда и время нарастания тока при переключении. Поэтому представляет интерес изучение динамики токовой нестабильности при импульсном воздействии тока на образец. Для проведения такого исследования одновременно с постоянным током на образец подавались импульсы напряжения с амплитудой до 1 В длительностью от 0.5 до 1 мкс. В эксперименте варьировалась частота следования импульсов от 40 до 100 Гц, их полярность и амплитуда. Было установлено, что существует пороговое значение напряжения импульса на образце  $U_{\text{пор}} \approx 0.7$  В, выше которого свойства запорного слоя начинают изменяться под действием импульсного напряжения. Из рис. 2, а видно, что при импульсном воздействии на образец, когда амплитуда им-

пульса  $U_{имп}$  превышает пороговое значение  $U_{пор}$ , постоянный ток через образец одинаков в обоих направлениях и нестабильности не наблюдается. После окончания действия импульсного напряжения на образец асимметрия проводимости контактов восстанавливается. На рис. 2, б показан процесс восстановления асимметрии — импульсное напряжение отключено в начале кривой. Видно, что электрический ток через контакт со временем уменьшается и появляются нестабильности тока. Время восстановления асимметрии существенно изменяется с температурой (при  $T = 20^{\circ}\text{C}$   $t \geq 40$  мин, при  $T = 300^{\circ}\text{C}$   $t \approx 2$  мин и при  $T = 500^{\circ}\text{C}$   $t \approx 30$  с. При амплитуде импульса  $U_{имп} > 1$  В к аналогичным результатам приводят и однократное импульсное воздействие. На рис. 2, в показана релаксация тока, протекающего в „трудном” направлении после воздействия однократного импульса, когда  $U_{имп} > U_{пор}$  и длительность импульса 1 мкс. Импульсный ток при этом противоположен постоянному. Моменты приложения однократного импульса отмечены на рисунке стрелками. В случае, когда импульсный и постоянный ток протекают в „легком” направлении, изменений не происходит.

Описанные эффекты свидетельствуют об образовании в некоторой приконтактной области запорного слоя под действием постоянного электрического тока достаточной плотности. Запорный слой легче образуется при высоких температурах. Однако после возникновения он существует и проявляет описанные свойства во всей исследованной температурной области от  $20^{\circ}$  до  $800^{\circ}\text{C}$ . На наш взгляд, причиной возникновения такого слоя является электродиффузия кислорода, который в системе  $\text{Y}-\text{Ba}-\text{Cu}-\text{O}$  характеризуется высокой подвижностью [3, 4].

#### Список литературы

- [1] Caton R., Selim R., Boncristiani A.M., Byvik C.E. // Appl. Phys. Lett. 1988. V. 52. N 12. P. 1014–1016.
- [2] Ekin J.W., Parsons A.J., Blanckenship B.A. // Appl. Phys. Lett. 1988. V. 52. N 4. P. 331–333.
- [3] Munakata F. et al. // Jap. J. of Appl. Phys. 1987. V. 26. N 8. L. 1292–1293.
- [4] Головашкин А.И., Иваненко О.М. и др. // Письма в ЖЭТФ. 1987. Т. 46. В. 8. С. 325–327.

Институт неорганической химии СО АН СССР,  
Новосибирск

Поступило в Редакцию  
25 июля 1988 г.  
В окончательной редакции  
13 марта 1989 г.